

ÇARPMA YÜKÜ ALTINDAKİ RİJİT PLASTİK KİRİŞLERİN ANALİTİK OLARAK İNCELENMESİ

Tekin GÜLTOP¹, Mahmut Cem YILMAZ², Bahadır ALYAVUZ²

¹ Çankaya Üniversitesi, Mühendislik Fakültesi, İnşaat Mühendisliği Bölümü, Etimesgut 06790, Ankara

² Gazi Üniversitesi, Mühendislik Fakültesi, İnşaat Mühendisliği Bölümü, Maltepe 06570, Ankara

tgultop@cankaya.edu.tr, mcyilmaz@gazi.edu.tr, balyavuz@gazi.edu.tr

(Geliş/Received: 14.03.2014; Kabul/Accepted: 11.07.2014)

ÖZET

Kirişler, kullanım ömrü boyunca dinamik bir yükleme türü olan çarpmaya maruz kalabilirler. Bu çalışmada kirişlerin düşük hızlı çarpmaya maruz kalmasına analitik olarak incelemiştir. Basit ve ankastre mesnetli kirişler, rijit plastik davranış kabulü yapılarak dinamik yükler altında incelemiştir. Göçme mekanizmasının ani olarak plastik mafsal oluşumuyla gerçekleştiği kabul edilmiş, enerji ve momentumun korunma ilkeleri dikkate alınarak dinamik yük altında kirişlerin limit analizi yapılmıştır. Darbe yükü altındaki rijit plastik kiriş davranışları, benzer yükleme koşulları altındaki elastik kiriş davranışıyla karşılaştırılmıştır.

Anahtar Kelimeler: Rijit plastik kirişler, enerji ve momentumun korunumu, çarpmaya maruz kalma, plastik mafsal

AN ANALYTICAL INVESTIGATION OF RIGID PLASTIC BEAMS UNDER IMPACT LOADING

ABSTRACT

Beams might be subjected to impact loading which is a particular type of dynamic loading during their service lives. In this study the behaviour of beams under low speed impact loading has been investigated analytically. Simply supported and fixed ended beams have been analyzed with the assumption of rigid plastic behaviour. The collapse mechanism has been assumed to emerge by the instant formation of plastic hinges, hence, a limit analysis has been performed under dynamic loading considering the conservation principles of energy and momentum. The behaviour of rigid plastic beams under impact loading has been compared to the behaviour of elastic beams under similar loading conditions.

Keywords: Rigid plastic beams, conservation of energy and momentum, impact loading, plastic hinge

1. GİRİŞ (INTRODUCTION)

Yapı elemanları kullanım ömrü boyunca bir dinamik yükleme çeşidi olan çarpmaya maruz kalabilirler. Bu yükleme tipi köprü ayaklarına bir aracın çarpması, sanayi yapılarında döşeme veya kiriş üzerine bir ağırlık düşmesi, askeri yapılarda patlama sonucunda cisimlerin yapı elemanlarına çarpması gibi birçok örnek durumda ortaya çıkabilir. Çarpmalar, düşük hızlı çarpmalar ve yüksek hızlı çarpmalar olarak ikiye ayrılabilir. Beton bir bloğa mermi saplanması gibi durumlar yüksek hızlı çarpmaların; betonarme bir döşeme üzerine bir ağırlığın serbest olarak düşmesi gibi durumlar da düşük hızlı çarpmaların örnekleri olarak nitelenebilir. Geçmişte çarpmaya maruz kalma etkisi altındaki yapı elemanlarının

davranışları ile ilgili teorik ve deneySEL olarak bazı çalışmalar yapılmıştır. J.L. Yang ve arkadaşları rijit plastik malzeme davranışını kabul ederek iki konsol kirişin uçlarına G kütlesinin çarpması durumunu [1], serbest düşürülen bir kirişin aşağıdaki konsol bir kirişle çarpması durumunu [2], bir kirişin iki ucu ankastre mesnetli bir kirişle çarpması durumunu [3] ve herhangi bir noktasından ani bir P yüklemeyle maruz kalan serbest kirişin davranışını [4] teorik olarak incelemiştir. Bunların dışında iki ucu ankastre mesnetli kirişin açılığının herhangi bir noktasından düşük hızlı çarpmaya maruz kalması durumundaki davranış ile ilgili teorik olarak başka çalışmalar da yapılmıştır [5-6]. Teorik çalışmaların yanısıra deneySEL veya nümerik olarak yalnız beton, betonarme, çelik veya kompozit kirişlerin çarpmaları

etkisi altındaki davranışları ile ilgili çeşitli çalışmalar yapılmıştır. E. Kantar ve arkadaşları, [7] beton basınç dayanımındaki değişimin beton kırışının çarpma yükü altındaki davranışları üzerinde çalışmışlardır. Çalışmalarında serbest ağırlık düşürme deney düzeneğini kullanmışlardır. N. Kishi ve A. Q. Bhatti, [8] betonarme kırışının çarpma etkisi altındaki davranışıyla ilgili olarak bir sonlu eleman yöntemi geliştirmiştir ve bunu doğrulamak için bir deney yapmışlardır. S. Saatci ve F. J. Vecchi, kesme dayanımının çarpma yükü etkisi altındaki betonarme kırışının davranışına etkisini deneyel [9] ve nümerik [10] olarak araştırmışlardır. Nümerik çalışmada kırışının dinamik davranışını öngörebilmek için bir sonlu elemanlar analiz yöntemi önermişler ve bir yazılım geliştirmiştirlerdir. R. Harsoor ve L.S. Ramachandra, [11] yumuşak çelikten üretilmiş çentikli veya çentiksiz kırışlar üzerinde deneyler yapmış ve deneyleri bir sonlu elemanlar programı olan ANSYS ile modellemiştir. M.R. Bambacha ve arkadaşları, [12] beton dolgulu kompozit kırışların düşük hızlı yükleme altındaki davranışlarını hem teorik hem de deneyel olarak araştırmışlardır.

Bu çalışmada T. Gültop, B. Alyavuz ve M.C. Yılmaz'ın rijit plastik kırışlarla ilgili daha önce yapmış oldukları çalışma [13] esas alınarak kırışların düşük hızlı çarpma yükü etkisi altındaki davranışları analitik olarak incelenmiştir. Çalışmada iki ucu basit veya iki ucu ankastre mesnetle mesnetlenmiş " M_1 " kütlesindeki bir kırışın açıklığının orta noktasına "h" yüksekliğinden serbest bırakılan "M" kütlesindeki ağırlığın çarpması durumunda kırışın göstereceği davranış ele alınmıştır. Çalışmanın ilk kısmında basit mesnetli rijit plastik kırış ve basit mesnetli elastik kırış için enerji sönümleme oranı değerleri hesaplanarak karşılaştırma yapılmıştır. Daha sonra basit mesnetli rijit plastik kırış ve ankastre mesnetli rijit plastik kırış için dönme açıları hesaplanarak karşılaştırılmıştır. Eşitlikler türetilirken momentumun korunumundan ve enerji denklemlerinden faydalanyılmıştır.

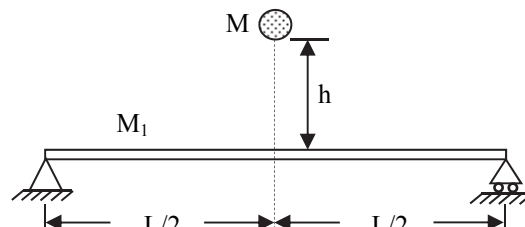
2. ANALİTİK ÇALIŞMA (ANALITICAL WORK)

Çalışmada bazı kabuller yapılmıştır. Bu kabuller aşağıdaki gibidir:

Çarpışmanın "tam plastik çarpışma türünde" gerçekleştiği kabul edilmiştir. Bu kabule göre, serbest bırakılan bir cisimin düşmesi ile gerçekleşen çarpma sonucunda, düşen cisim, kırış orta noktasına yapışmaktadır ve kırış orta noktasına birelikte aynı hızla hareket etmektedir. Bu çarpma türü için geçerli olan tam plastik çarpma katsayısi (the coefficient of restitution), 1'e eşittir. Tam plastik çarpışmada momentum korunmaktadır, fakat enerji korunmamaktadır. Çarpışmanın ideal koşullarda gerçekleştiği kabul edilmiştir. Kırış ve kırışe çarpan kütle arasında düzgün bir deformasyon ve gerilme aktarımı olmaktadır.

Göçmenin plastik mafsal oluşumu nedeniyle ani olarak gerçekleştiği kabul edilmiştir. Bu nedenle, çarpma sonrasında kırış boyunca oluşabilecek dalga yayılması ile titreşim etkileri, ikinci dereceden etkiler olarak değerlendirilmiş ve mevcut çalışma kapsamında ihmal edilmiştir.

2.1. Basit Mesnetli Rijit Plastik Kırış için Enerji Sönümleme Oranı K_p (The Energy Dissipation Ratio K_p for a Simply Supported Rigid Plastic Beam)

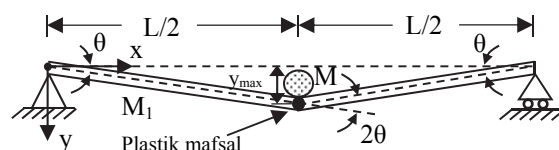


Şekil 1. Basit mesnetli bir kırış üzerine M kütlesiinin düşürülmesi (The free fall of a mass M on to the simply supported beam)

Şekil 1'de basit mesnetli M_1 kütlesindeki bir kırışın açıklığının orta noktasına h yüksekliğinden M kütlesindeki bir ağırlık düşürülmemektedir. Bu bölümde Şekil 1'de gösterilen basit mesnetli kırışın rijit plastik cisim davranışını gösteren bir kırış olması durumu ele alınmıştır. Buna göre, çarpışma ile kırış orta noktasında plastik mafsal olmakta ve mafsalın iki tarafındaki kırış parçaları kendi eksenleri boyunca doğrusal kalarak mafsal etrafında dönmekte ve kırış göçmektedir (Şekil 2). Çalışmada basit mesnetli rijit plastik kırış çarpışmada enerji sönümleme oranı, K_p olarak adlandırılmıştır ve,

$$K_p = \frac{(T_1)_p}{(T_0)_p} \quad (1)$$

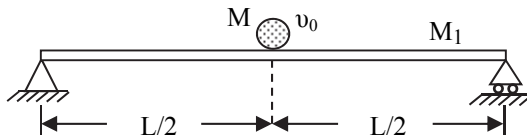
denlemi ile ifade edilmiştir. $(T_0)_p$ ve $(T_1)_p$, sırasıyla çarpışmanın hemen öncesinde ve sonrasında rijit plastik kırış ve M kütlesinden oluşan sistemin sahip olduğu toplam kinetik enerjisi göstermektedir.



Şekil 2. Basit mesnetli rijit plastik kırışın çarpışmadan hemen sonrası hareketi (The motion of a simply supported rigid plastic beam just after impact)

$(T_0)_p$ 'nin bulunması: Çarpışmanın hemen öncesinde (Şekil 3) kırış hareksiz olduğu için kırışın kinetik enerjisi sıfırdır. Bu durumda çarpışmadan hemen önceki toplam kinetik enerji M kütlesinin o andaki kinetik enerjisine eşittir. Çarpışmadan hemen önce M kütlesinin hızına v_0 denildiğinde çarpışma öncesindeki toplam kinetik enerji denklem (2) ile ifade edilir.

$$(T_0)_p = \frac{1}{2} M v_0^2 \quad (2)$$



Şekil 3. Kiriş ve M kütlesinin çarpışmadan hemen önceki konumu (Positions of beam and mass M just before impact)

$(T_1)_p$ 'nin bulunması: L uzunluğundaki rijit plastik kırışın Şekil 4'de gösterildiği gibi L/2 uzunluğundaki parçası ele alınmıştır. Çarpışma ile birlikte kiriş orta noktasında plastik mafsal olumsakta ve kiriş orta noktası ile kiriş yapmış M kütlesi aynı doğrultuda ve aynı hızla hareket etmektedirler. Çarpışmanın hemen sonrasındaki toplam kinetik enerji $(T_1)_p$,

$$(T_1)_p = \frac{1}{2} M v_1^2 + 2 \int_0^{L/2} \frac{1}{2} \rho (v_x)^2 dx \quad (3)$$

eşitliği ile bulunur.

Eşitlikte geçen ρ kırışın birim boyunun ağırlığını, v_x kiriş üzerindeki mesnetten x kadar mesafedeki bir noktanın düşey hızını göstermektedir. Eşitliğin sağındaki ilk ifade M kütlesinin, ikinci ifade ise kırışın, çarpışma sonrasındaki kinetik enerjilerini göstermektedir.

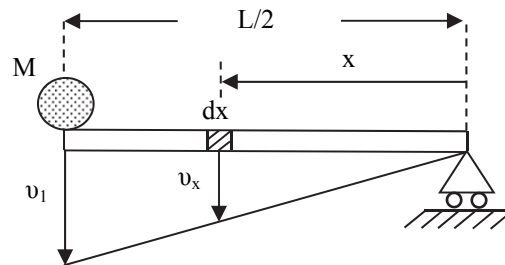
Rijit plastik davranışının geometrisi gereğince, hız mesnete olan x mesafesi ile doğru orantılı olarak değişmektedir. Kiriş orta noktası ve M kütlesinin ortak hızına v_1 denildiğinde v_x denklem (4)'deki gibi bulunur. Denklem (3)'de ρ yerine M_1/L ve v_x yerine de denklem (4)'deki ifade konulup integral alındığında denklem (5) elde edilmiş olur.

$$v_x = \frac{2v_1 x}{L} \quad (4)$$

$$(T_1)_p = \left(\frac{M}{2} + \frac{M_1}{6} \right) v_1^2 \quad (5)$$

Denklem (2) ve denklem (5), denklem (1)'de yerine konulduğunda " K_p " aşağıdaki gibi bulunur.

$$K_p = \frac{\frac{M}{2} + \frac{M_1}{6}}{\frac{M}{2}} \left(\frac{v_1}{v_0} \right)^2 \quad (6)$$



Şekil 4. Çarpışma sonrasında rijit plastik kırış üzerindeki bir noktanın hızı (The velocity of an arbitrary point on the rigid plastic beam after impact)

Momentumun korunumu: Tam plastik çarpışmada momentum korunmaktadır. Burada M kütlesi ve rijit plastik kırışından oluşan sistemin çarpışma öncesindeki ve sonrasındaki momentumlarına sırasıyla $(L_0)_p$ ve $(L_1)_p$ denilmiştir. Çarpışmadan hemen önce kiriş hareketsiz olduğu için, o andaki momentum sadece M kütlesinin momentumundan ibarettir (Denklem (7)).

$$(L_0)_p = M v_0 \quad (7)$$

Kiriş parçalarından her birinin kütle merkezindeki hız, veya kiriş boyunca ortalama hız $v_1/2$ 'dir. Buna göre çarpışma sonrasındaki momentum,

$$(L_1)_p = M v_1 + M_1 \frac{v_1}{2} \quad (8)$$

denklemi ile ifade edilir. Çarpışmada momentum korundığından denklem (7) ve denklem (8) birbirine eşitlendiğinde ve v_1/v_0 ifadesi yeni eşitliğin sol tarafında yalnız bırakıldığında,

$$\frac{v_1}{v_0} = \left(\frac{1}{1 + \frac{M_1}{2M}} \right) \quad (9)$$

denklemi elde edilir. Denklem (9), denklem (6)'da ilgili yere konulduğunda K_p ifadesi, çarpan cismin kütlesi M 'e ve rijit plastik kırış kütlesi M_1 'e bağlı olarak denklem (10)'daki gibi bulunur.

$$K_p = \frac{1 + \frac{M_1}{3M}}{\left(1 + \frac{M_1}{2M} \right)^2} \quad (10)$$

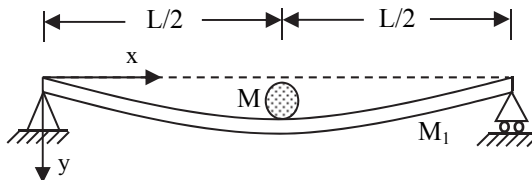
2.2. Basit Mesnetli Elastik Kiriş için Enerji Sönümlüme Oranı K_e (The Energy Dissipation Ratio K_e for a Simply Supported Elastic Beam)

[14] numaralı kaynakta verilmiş olan basit mesnetli elastik kiriş için enerji sökümlüme oranı K_e burada denklem (11) ile gösterilmiştir.

Bu bölümde Şekil 1'de gösterilen kırışın elastik cisim davranışını yapan bir kırış olması durumu ele alınarak denklem (11) türetilmeye çalışılmıştır.

$$K_e = \frac{1 + \frac{17M_1}{35M}}{\left(1 + \frac{5M_1}{8M}\right)^2} \quad (11)$$

Basit mesnetli elastik kırış çarpma etkisi altında Şekil 5'deki gibi deformasyon yapar.



Şekil 5. Çarpışma sonrası basit mesnetli elastik kırış deformasyonu (The deformation of a simply supported elastic beam after impact)

K_e 'nin genel ifadesi K_p 'ye benzer şekilde denklem (12)'de verilmiştir.

$$K_e = \frac{(T_1)_e}{(T_0)_e} \quad (12)$$

Denklem (12)'de geçen $(T_0)_e$, $(T_1)_e$ ifadeleri sırasıyla M_1 kütlesindeki elastik kırış ve M kütlesindeki ağırlığın çarpışmadan hemen önceki ve hemen sonraki toplam kinetik enerjilerini göstermektedir. Bir cisim Δt kadar sürede y mesafesi kadar yol alıyorsa bu cismin ortalama hızı v_{ort} ,

$$v_{ort} = \frac{y}{\Delta t} \quad (13)$$

denklemi ile bulunur. Şekil 5'deki deform olmuş bir kırışın elastik eğri denklemi kullanılarak, kırış üzerindeki herhangi bir noktanın çarpışma sonrasında hızı denklem (13) yardımı ile bulunabilir. Basit mesnetli elastik bir kırış, açıklığının orta noktasına statik P yükü etki etmesi halinde Şekil 5'deki gibi deform olur. Buna göre, kırış orta noktasına P yükü etki etmesi halinde $x < L/2$ için türetilmiş olan elastik eğri denklemi (Denklem (14)) Şekil 5'deki kırışın elastik eğrisi için de kullanılabilir.

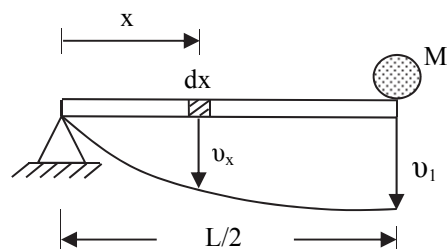
$$y = \frac{1}{EI} \left(\frac{Px^3}{12} - \frac{PL^2 x}{16} \right) \quad (14)$$

Denklem (14)'de "T" kırış kesitinin ağırlık merkezinden geçen eksene göre atalet momentini, "E" ise kırış malzemesinin elastisite modülünü göstermektedir.

$(T_0)_e$ 'nin bulunması: Basit mesnetli rijit plastik kırışta olduğu gibi (Şekil 3) çarpışmadan hemen önce M ütlesinin hızına v_0 denildiğinde ve o anda kırış hareketsiz olduğundan $(T_0)_e$, M kütlesinin kinetik enerjisine eşit olacaktır (Denklem (15)).

$$(T_0)_e = \frac{1}{2} M v_0^2 \quad (15)$$

$(T_1)_e$ 'nin bulunması: Rijit plastik kırışta olduğu gibi, çarpışma sonrasında M kütlesi ile elastik kırışın ortak hızına da v_1 denilmiştir. L uzunlığundaki elastik kırışın Şekil 6'da gösterildiği gibi $L/2$ uzunlığundaki parçası ele alınmıştır. Şekil 6'da görüldüğü gibi, kırış üzerindeki bir noktanın hızı, o noktanın elastik eğride görülen düşey deplasmanla orantılı olacaktır.



Şekil 6. Çarpışma sonrasında elastik kırış üzerindeki bir noktanın hızı (The velocity of an arbitrary point on the elastic beam after impact)

Şekil 6'da kırış üzerinde mesnetten x kadar uzaklıktaki bir noktanın hızına v_x denildiğinde $(T_1)_e$,

$$(T_1)_e = \frac{1}{2} M v_1^2 + 2 \int_0^{L/2} \frac{1}{2} \rho (v_x)^2 dx \quad (16)$$

denklemdeki gibi ifade edilir. Denklemin sağ tarafındaki ilk kısmı M kütlesinin kinetik enerjisini göstermektedir. Denklemin sağındaki ikinci kısmı ise elastik kırışın çarpışma sonrasında kinetik enerjisini göstermektedir. Denklem (13)'de v_{ort} yerine v_x ve y yerine de denklem (14)'deki ifade konulduğunda v_x , denklem (17)'deki gibi bulunur.

$$v_x = \frac{1}{EI(\Delta t)} \left(\frac{Px^3}{12} - \frac{PL^2 x}{16} \right) \quad (17)$$

Denklem (16)'da ρ yerine M_1/L ve v_x yerine de denklem (17) konularak integral alındığında,

$$(T_1)_e = \frac{1}{2} M v_1^2 + M_1 \left(\frac{1,0549 P^2 L^6 10^{-4}}{[EI(\Delta t)]^2} \right) \quad (18)$$

ifadesi elde edilir. Şekil 6'da $x=L/2$ olduğunda $v_x=v_1$ 'dır. Denklem (17)'de x yerine $L/2$, v_x yerine de v_1 konulduktan sonra eşitliğin her iki tarafının karesi alınıp uygun şekilde düzenlenliğinde,

$$\frac{v_1^2}{4,340} = \frac{P^2 L^6 10^{-4}}{[EI(\Delta t)]^2} \quad (19)$$

eşitliği elde edilir. Denklem (19)'da eşitliğin sol tarafı denklem (18)'de yerine yazılıp gerekli işlem yapıldıktan sonra

$$(T_1)_e = \frac{1}{2} M v_1^2 + 0,2431 M_1 v_1^2 \quad (20)$$

ifadesi bulunmuş olur. Denklem (15) ve denklem (20) ifadeleri de denklem (12)'de yerlerine konulup gerekli düzenleme yapıldıktan sonra denklem (21) elde edilir.

$$K_e = \frac{\frac{1}{2} M + 0,2431 M_1}{\frac{1}{2} M} \left(\frac{v_1}{v_0} \right)^2 \quad (21)$$

Momentumun korunumu: Çarpışmada momentum korunmaktadır. M_1 kütlesindeki elastik kırış ve M kütlesindeki ağırlıktan oluşan sistemin çarpışmadan hemen önceki ve sonraki momentumlarına sırasıyla $(L_0)_e$ ve $(L_1)_e$ denilmiştir. $(L_0)_e$, çarpışmadan hemen önce kırış hareketsiz olduğu için sadece M kütlesinden kaynaklanan momentum'a eşittir (Denklem (22)).

$$(L_0)_e = M v_0 \quad (22)$$

$(L_1)_e$, Şekil 6 dikkate alınarak denklem (23) ile ifade edilmiştir.

$$(L_1)_e = M v_1 + 2 \int_0^{L/2} \rho v_x dx \quad (23)$$

Eşitlikteki ilk terim M kütlesinin momentumunu, ikinci terim ise elastik kırışın momentumunu göstermektedir. Denklem (23)'de ρ yerine M_1/L ve v_x yerine de denklem (17)'deki değeri konulup denklem içerisindeki integral işlemi yapıldığında,

$$(L_1)_e = M v_1 + M_1 \left(\frac{-10}{768} \right) \left(\frac{PL^3}{EI(\Delta t)} \right) \quad (24)$$

ifadesi elde edilir. Denklem (17)'de x yerine $L/2$, v_x yerine de v_1 konulduktan sonra eşitliğin sağ tarafında $PL^3/EI(\Delta t)$ ifadesi yalnız bırakıldığından,

$$-48v_1 = \frac{PL^3}{EI(\Delta t)} \quad (25)$$

eşitliği bulunur. Denklem (25)'de eşitliğin sol tarafındaki ifade denklem (24)'de eşitliğin sağ

tarafındaki yerine konulup gerekli işlemler yapıldığında da denklem (26) elde edilir.

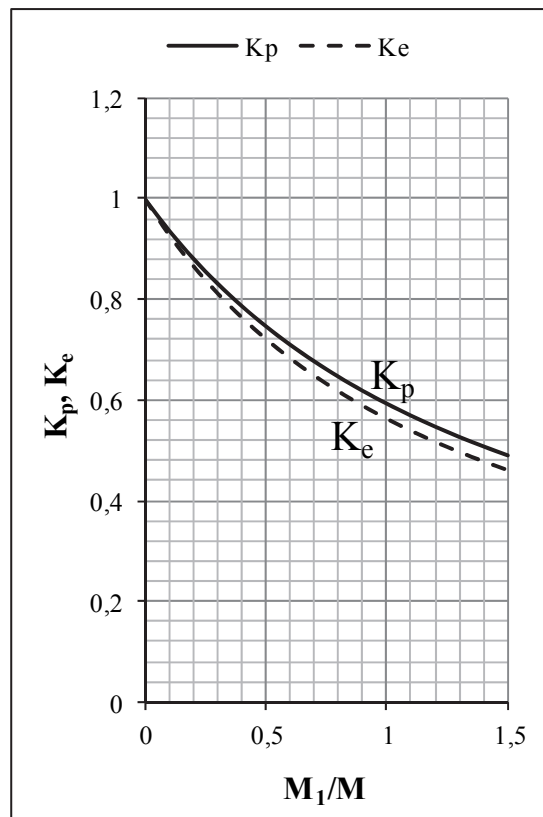
$$(L_1)_e = M v_1 + M_1 (0,625 v_1) \quad (26)$$

Çarşıma öncesindeki ve sonrasındaki momentumlar eşit olduğu için denklem (22) ile denklem (26) birbirine eşitlenip v_1/v_0 ifadesi, eşitliğin sol tarafında yalnız bırakıldığından,

$$\frac{v_1}{v_0} = \frac{M}{M + 0,625 M_1} \quad (27)$$

denklemi elde edilir. Denklem (27), denklem (21)'de yerine konulduğunda denklem (11) elde edilmiş olur.

2.3. K_p ve K_e 'nin Karşılaştırılması (The Comparison of K_p and K_e)



Şekil 7. K_p ve K_e 'nin M_1/M 'e göre değişimi (Variation of K_p and K_e due to M_1/M)

K_p ve K_e 'nin M_1/M boyutsuz değişkenine göre değişimleri Şekil 7'deki grafikte gösterilmiştir. Grafiğe göre $M_1/M > 0$ olduğunda K_p , K_e den daha büyük değer almaktadır. Bu durum çarpma olayında basit mesnetli elastik kırışın basit rijit plastik kırışa göre daha büyük oranda enerji sönümlendiğini göstermektedir. İlk baktı beklenmeyen bu durumun nedeni, elastik kırışın çarpışmada kırış açılığını boyunca deform olmasıyla enerji sönümlenmesi; rijit plastik kırışta ise, sadece kırış orta noktasında oluşan

plastik mafsal ile sınırlı bir bölgede enerji sökümlenmesi olarak düşünülmüştür.

2.4. Basit Mesnetli Rijit Plastik Kırışte Dönme Açısı (The Rotation Angle in a Simply Supported Rigid Plastic Beam)

Basit mesnetli rijit plastik kırışın çarpışmadan kaynaklanan göçme şekli, Şekil 2 ile gösterilmiştir. Şekil 2'de çarpışmadan hemen önce (kırışın açıklık ortası $y=0$ seviyesindeyken) kırış ve M kütlesinden oluşan sistemin $y=y_{\max}$ 'dan geçen yatay eksene göre potansiyel enerjisine (P_1)_p denildiğinde,

$$(P_1)_p = Mg \left(\frac{L}{2} \sin \theta \right) + M_1 g \left(\frac{L}{4} \sin \theta \right) \quad (28)$$

denklemi ile ifade edilir. Denklemde geçen ve birimi Radyan olan θ açısı çok küçük bir açı olduğu için $\sin \theta \approx \theta$ olmaktadır. Bu nedenle denklemde $\sin \theta$ yerine θ konulduğunda,

$$(P_1)_p = \frac{L}{2} Mg \theta + \frac{L}{4} M_1 g \theta \quad (29)$$

ifadesi elde edilir. Çarpışmadan hemen sonra sistemin toplam mekanik enerjisine (E_1)_p denildiğinde (E_1)_p, denklem (30) ile ifade edilir.

$$(E_1)_p = (T_1)_p + (P_1)_p \quad (30)$$

Denklem (9)'da v_1 , eşitliğin solunda yalnız bırakılmış, yeni eşitlik denklem (5)'de yerine konduğunda,

$$(T_1)_p = \left(\frac{M}{2} + \frac{M_1}{6} \right) \left(\frac{1}{1 + \frac{M_1}{2M}} \right)^2 v_0^2 \quad (31)$$

ifadesi bulunur. Denklem (29) ve denklem (31), denklem (30)'da yerlerine konulduğunda (E_1)_p,

$$(E_1)_p = \left(\frac{M}{2} + \frac{M_1}{6} \right) \left(\frac{1}{1 + \frac{M_1}{2M}} \right)^2 v_0^2 + \frac{L}{2} Mg \theta + \frac{L}{4} M_1 g \theta \quad (32)$$

şeklinde bulunmuş olur. Rijit plastik kırışta çarpışma sonunda oluşan plastik mafsalın yapmış olduğu iş, W_p ile gösterilsin. W_p , çarpışmadan hemen sonra kırışın sahip olduğu toplam mekanik enerji (E_1)_p'ye eşit olur [15], [16], [17]. Plastik mafsalın yapmış olduğu iş,

$$W_p = M_p (2\theta) \quad (33)$$

denklemi ile bulunur. Yukarıdaki denklemde M_p ifadesi, kırış kesitinin plastik moment kapasitesini göstermektedir.

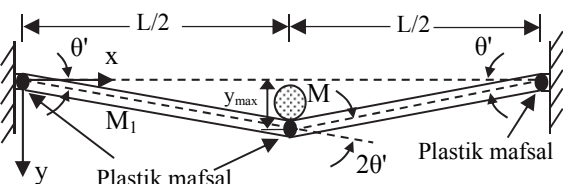
Denklem (32) ile denklem (33) birbirine eşitlenip θ açısı eşitliğin sol tarafında yalnız bırakıldığından denklem (34) elde edilmiş olur.

$$\theta = \frac{\left(\frac{M}{2} + \frac{M_1}{6} \right) \left(\frac{1}{1 + \frac{M_1}{2M}} \right)^2 v_0^2}{2M_p - \frac{L}{2} \left(M + \frac{M_1}{2} \right) g} \quad (34)$$

2.5. Ankastre Mesnetli Rijit Plastik Kırışte Dönme Açısı (The Rotation Angle in a Fixed End Supported Rigid Plastic Beam)

İki ucu ankastre mesnetli rijit plastik kırışın çarpışmadaki plastik göçme mekanizması Şekil 8'de gösterilmiştir.

Çarpışma ile birlikte kırış orta noktasında ve mesnetlerde birer tane olmak üzere kırış üzerinde toplam üç adet plastik mafsal bulunmaktadır. Çarpışma ile mesnetlerde ve kırış orta noktasında oluşan plastik mafslar arasında kalan iki adet $L/2$ uzunluğundaki kırış parçası (eksenleri boyunca doğrusal kalarak) plastik mafslar etrafında dönmektedirler. Ankastre mesnetli kırışteki dönme açısı θ' ile gösterilmiştir.



Şekil 8. İki ucu ankastre mesnetli rijit plastik kırışın kırılma mekanizması (The failure mode of a fixed end supported rigid plastic beam)

Çarpışma sonrasında kırışın sahip olduğu toplam mekanik enerji ile üç adet plastik mafsalın yaptığı işlerin toplamı birbirine eşittir. Plastik mafsların yaptığı toplam iş,

$$W_p' = M_p (2\theta') + M_p (\theta') + M_p (\theta') \quad (35)$$

$$W_p' = M_p (4\theta') \quad (36)$$

eşitlikleri ile gösterilmiştir. Basit mesnetli rijit plastik kırış için elde edilmiş olan denklem (32) burada da geçerlidir. Ankastre mesnetli rijit plastik kırışın çarpışma sonrası toplam mekanik enerjisine (E_1)_p' denildiğinde ve denklem (32)'de θ açısı yerine θ' , (E_1)_p yerine de (E_1)_p' konulduğunda,

$$(E_1)_p' = \left(\frac{M}{2} + \frac{M_1}{6} \right) \left(\frac{1}{1 + \frac{M_1}{2M}} \right)^2 v_0^2 + \frac{L}{2} Mg\theta' + \frac{L}{4} M_1 g\theta' \quad (37)$$

eşitliği elde edilir. Denklem (36) ve denklem (37) birbirine eşitlendiğinde θ' açısı, denklem (38)'deki gibi bulunmuş olur. Denklem (34) ve denklem (38) karşılaştırıldığında ankastre mesnetli rijit plastik kırış için elde edilen θ' açısının basit mesnetli rijit plastik kırış için elde edilen θ açısından daha küçük olduğu görülmüştür (Denklem (39)).

$$\theta' = \frac{\left(\frac{M}{2} + \frac{M_1}{6} \right) \left(\frac{1}{1 + \frac{M_1}{2M}} \right)^2 v_0^2}{4M_p - \frac{L}{2} \left(M + \frac{M_1}{2} \right) g} \quad (38)$$

$$\Rightarrow \theta' < \theta \quad (39)$$

3. SONUÇLAR (CONCLUSIONS)

Rijit plastik cisimlerin düşük hızlı çarpma yükleri altındaki davranışını incelemek amacıyla, birinci aşamada rijit cisimler dinamiğinin temel ilkelerinden enerjinin ve momentumun korunumu kullanılmıştır. Çalışma kapsamında dikkate alınan çarpma, plastik bir çarpma olduğundan toplam mekanik enerji kayba uğramıştır. Momentumun korunumu ilkesinden yararlanılarak çarpan cismin ve kırış parçalarının çarpma sonrasında ortak ilk hızı hesaplanmıştır. Araştırmanın ikinci aşamasında kırışların plastik analizi, veya limit analizi yapılarak, plastik dönme açısı formülü, plastik moment kapasitesine bağlı olarak türetilmiştir.

Bütünyle elastik ve rijit plastik kırışların davranışlarının karşılaştırılması amacıyla, çarpan kütlenin kırış kütlesine oranına bağlı olarak, enerji kayıp oranlarının bir karşılaştırılması yapılmıştır. Bunun sonucunda bütünüyle elastik bir kırışın çarpma yükü altındaki enerji kaybı, rijit plastik kırıştekine göre daha fazla çıkmıştır. Bunun nedeni, rijit plastik kırışte deformasyonun plastik mafsal üzerinde sınırlı olması; elastik kırışte ise deformasyonun kırış açıklığı boyunca yayılmasıdır.

Ankastre mesnetli rijit plastik kırışteki plastik dönme açısı ile basit mesnetli rijit plastik kırışteki plastik dönme açısı karşılaştırılmıştır. Formülasyon sonucunda basit mesnetli kırışteki plastik dönme açısının ankastre mesnetli kırışteki dönme açısından

daha büyük olduğu sonucuna varılmıştır. Böylece, analitik formülasyon tamamlanmış, bu konuda deneyel ve nümerik araştırmalara devam edilebilmesi için teorik bir temel oluşturulmuştur.

SEMBOLLER (SYMBOLS)

At	Bir cismin y mesafesi kadar yol alırken geçen süre
E	Kırışın elastisite modülü
(E₁)_p	Basit mesnetli rijit plastik kırış ve M kütlesinin çarpışmadan hemen sonraki toplam mekanik enerjisi
(E₁)'_p	Ankastre mesnetli rijit plastik kırış ve M kütlesinin çarpışmadan hemen sonraki toplam mekanik enerjisi
g	Yerçekimi ivmesi
h	M kütlesinin kırış üzerine düşürülme yüksekliği
I	Kırış kesitinin ağırlık merkezinden geçen eksene göre atalet momenti
K_e	Basit mesnetli elastik kırışte enerji sökümleme oranı
K_p	Basit mesnetli rijit plastik kırışte enerji sökümleme oranı
L	Kırış uzunluğu
(L₀)_e	Elastik kırış ve M kütlesinin çarpışmanın hemen öncesindeki momentumu
(L₁)_e	Elastik kırışı ve M kütlesinin çarpışma sonrası momentumu
(L₀)_p	Rijit plastik kırış ve M kütlesinin çarpışmanın hemen öncesindeki momentumu
(L₁)_p	Rijit plastik kırış ve M kütlesinin çarpışma sonrası momentumu
M	Kırış üzerine düşürülen ağırlığın kütlesi
M₁	Kırışın kütlesi
M_p	Kırış kesitinin plastik moment kapasitesi
p	Kırışın birim boyunun ağırlığı (M_1/L)
P	Noktasal statik yük
(P₁)_p	Rijit plastik kırışın ve M kütlesinin çarpışmanın ilk anında y_{max} seviyesinden geçen yatay eksene göre toplam potansiyel enerjisi
(T₀)_e	Elastik kırış ve M kütlesinin çarpışmanın hemen öncesinde toplam kinetik enerjisi
(T₁)_e	Elastik kırış ve M kütlesinin çarpışma sonrasında toplam kinetik enerjisi
(T₀)_p	Rijit plastik kırış ve M kütlesinin çarpışmanın hemen öncesinde toplam kinetik enerjisi
(T₁)_p	Rijit plastik kırış ve M kütlesinin çarpışma sonrasında toplam kinetik enerjisi
θ	Basit mesnetli rijit plastik kırışte dönme açısı
θ'	Ankastre mesnetli rijit plastik kırışte dönme açısı
v_{ort}	Ortalama hız
v₀	M kütlesinin çarpışmadan hemen önceki hızı
v₁	M kütlesinin ve kırış açıklık orta noktasının çarpışma sonrasında ortak hızı

v_x	Kırış üzerinde mesnetten x kadar uzaklıktaki bir noktanın çarpışma sonrası hızı
W_p	Basit mesnetli rijit plastik kırışta plastik mafsalın yaptığı iş
W_p'	Ankastre mesnetli rijit plastik kırışta plastik mafsalın yaptığı iş
x	Kırış üzerindeki bir noktanın mesnete olan uzaklılığı
y	Kırış üzerinde mesnetten x uzaklıktaki bir noktanın yaptığı düşey deplasman
y_{max}	Rijit plastik kırışın açıklık orta noktasının yaptığı maksimum deplasman

KAYNAKLAR (REFERENCES)

1. Yu, T.X., Yang, J.L. ve Reid, S.R., "Dynamic behavior of double cantilever beams subjected to impact", **International Journal of Pressure Vessels and Piping**, Cilt 78, No 1, 49-57, 2001.
2. Yu, T.X., Yang, J.L. ve Reid, S.R., "Deformable body impact: dynamic plastic behaviour of a moving free-free beam striking the tip of a cantilever beam ", **International Journal of Solids and Structures**, Cilt 38, No 2, 261-287, 2001.
3. Yang, J.L., Liu, X.H. ve Reid, S.R., "Dynamic plastic behavior of a free-free beam striking the mid-span of a clamped beam with shear and membrane effects considered", **International Journal of Mechanical Sciences**, Cilt 45, No 5, 915–940, 2003.
4. Yang, J.L., Yu, T.X. ve Reid, S.R., "Dynamic behaviour of a rigid, perfectly plastic free-free beam subjected to step-loading at any cross-section along its span", **International Journal of Impact Engineering**, Cilt 21, No 3, 165-175 1998.
5. Wen, H.M., Reddy, T. Y. ve Reid, S.R., "Deformation and failure of clamped beams under low speed impact loading", **International Journal of Impact Engineering**, Cilt 16, No 3, 435-454, 1995.
6. Liu, J.H. ve Jones, N., "Dynamic response of a rigid plastic clamped beam struck by a mass at any point on the span", **International Journal of Solids and Structures**, Cilt 24, No 3, 251-270, 1988.
7. Kantar, E., Arslan. A. ve Anıl, Ö., "Beton dayanımındaki değişimin çarpma davranışına etkisi", **Journal of The Faculty of Engineering and Architecture of Gazi University**, Cilt 26, No 1, 115-123, 2011.
8. Kishi, N. ve Bhatti, A.Q., "An equivalent fracture energy concept for nonlinear dynamic response analysis of prototype RC girders subjected to falling-weight impact loading", **International Journal of Impact Engineering**, Cilt 37, No 1, 103–113, 2010.
9. Saatci, S. ve Vecchio, F.J., "Effects of shear mechanisms on impact behavior of reinforced concrete beams", **ACI Structural Journal**, Cilt 106, No 1, 78-86, 2009.
10. Saatci, S. ve Vecchio, F.J., "Nonlinear finite element modeling of reinforced concrete structures under impact loads", **ACI Structural Journal**, Cilt 106, No 5, 717-725, 2009.
11. Harsoor, R. ve Ramachandra, L.S., "Influence of notch on the elastic-plastic response of clamped beams subjected to low velocity impact", **International Journal of Impact Engineering**, Cilt 36, No 8, 1058–1069, 2009.
12. Bambacha, M.R., Jamaa, H., Zhaoa, X.L. ve Grzebieta, R.H., "Hollow and concrete filled steel hollow sections under transverse impact loads", **Engineering Structures** Cilt 30, No 10, 2859–2870, 2008.
13. Gültop, T., Alyavuz, B. ve Yılmaz, M.C., "Plastic Collapse of Beams under Impact Loading", **6. Mühendislik ve Teknoloji Sempozyumu**, Çankaya Üniversitesi, Ankara, 63-66, 25-26 Nisan 2013.
14. Young, W.C., "Dynamic and Temperature Stresses", **Roark's Formulas for Stress and Strain**, Mc Graw Hill, Sixth Edition, New York, A.B.D., 710-720, 1989.
15. Wasti, S.T., "Yıkılışın Bazı Misalleri", **Limit Analizi**, Orta Doğu Teknik Üniversitesi Mühendislik Fakültesi Yayınları, Ankara, Türkiye, 13-24, 1968.
16. Neal, B.G., "Basic Theorems and Simple Examples", **The Plastic Methods of Structural Analysis**, Chapman and Hall, Londra, İngiltere, 18-46, 1981.
17. Martin, J.B., "Limit Analysis of Beams and Frames", **Plasticity: Fundamentals and General Results**, MIT Press, Londra, İngiltere, 408-420, 1975.